

딜티아제서방정을 이용한 *In vitro/In vivo* 상관성

최명신 · 강찬순¹ · 최보경¹ · 홍정희² · 김길수[†]

이화여자대학교, ¹식품의약품안전청 의약품평가부, ²충남대학교

(2002년 10월 19일 접수 · 2002년 11월 18일 승인)

In vitro/In vivo Correlation of Sustained Release Diltiazem

Myoengsin Choi, Chan Soon Kang¹, Bo Kyung Choi¹, Chong Hui Hong² and Kil Soo Kim[†]

Ewha Womans University, Seoul 120-750, Korea

¹Department of Drug Evaluation, Korea Food and Drug Administration, Seoul 122-704, Korea

²Chungnam National University, Daejeon 305-764, Korea

(Received October 19, 2002 · Accepted November 18, 2002)

ABSTRACT—IVIVC (*In vitro/in vivo* correlation) is useful for predicting *in vivo* results from *in vitro* data. The aim of this study was to develop IVIVC of sustained release diltiazem. For this purpose, three types of diltiazem tablets with different *in vitro* dissolution rates were prepared. An *in vitro* dissolution testing method comprising of paddle apparatus, 50 rpm, water as dissolution medium was developed. Under these condition, we demonstrated that AUCinf could be predicted by evaluating $d_{70\%}$ (time dissolved 70%) *in vitro* since the *in vivo* AUCinf was correlated with the *in vitro* $d_{70\%}$ ($r=-0.9981$).

Key words—Diltiazem, Dissolution test, *In vivo-in vitro* correlation.

고형제제의 품질평가는 주로 제제에 배합되어 있는 유효 성분의 확인, 순도, 함량 등의 이화학적시험 및 경도, 중량 편차, 봉해시험 등 제제학적 시험을 주로 한 시험이 실시되어 왔다. 그러나 최근에는 기대한 유효성 및 안전성의 관점에서 품질의 적합성이 논의되어 생체이용율(bioavailability)을 예측하는 수단으로서의 용출시험의 중요성이 되고 있다.¹⁻²⁾ 특히 방출제어형 경구용 고형제제에 있어 *in vitro* 용출시험으로 생물학적이용율을 예측하고자 하는 요구가 계속되고 있다. 용출시험으로 생물학적이용율을 예측할 때 필수적인 것이 *in vitro*에서의 용출시험과 *in vivo*에서의 생체이용률의 상관성이 확보되어야 하는데 이에 따라 IVIVC (*in vivo-in vitro* correlation)에 대한 관심이 증가하고 있다.

IVIVC를 확립하면 제제개발과정이나 제제허가 후 조성을 변화시킬 때 생물학적동등성시험없이 용출시험으로 대신할 수 있고 용출기준을 타당화 할 수 있으며 생산과정중이나 제제 개발에 있어 간단하게 품질의 일관성을 확보할 수 있다는 장점이 있다.³⁻⁴⁾

본 실험에서는 딜티아제를 이용한 용출을 제어시킨 서방정을 제조하고 *in vitro* 용출시험과 *in vivo* 흡수시험을 실시하여 *in vitro* 실험에서 얻을 수 있는 인자와 *in vivo* 실험

에서 얻을 수 있는 인자연구를 통해 상관성을 확립하고자 하였다.

시험방법

시약

딜티아제 및 히드록시프로필셀룰로오스, 스테아린산마그네슘, 유당등은 삼오파마캡에서 제공받았다. 기타 용출시험, 분석 및 *in vivo* 흡수시험에 필요한 시약들은 HPLC grade, 특급 또는 일급시약을 사용하였다.

기기

정제 제조 장치는 타정기(ERWEKA AR 400, ERWEKA APPARATEBAU GMBH, Heusenstamm, Germany), 용출 시험장치는 용출시험기(SR-6, Hanson Research, USA), 용출액 및 혈장중의 딜티아제 분석에는 HPLC 시스템(Waters 510 pump, Waters 717 autosampler, Water 996 PDA detector, Waters Millenium data module, Millipore Co., Milford, MA., USA)과 자외부흡광광도계(Hewlett Packard 8452A, USA)를 사용하였다.

실험동물

실험에 사용된 비글견은 국립독성연구원에서 분양 받았

[†]본 논문에 관한 문의는 이 저자에게로
Tel : 02)3277-3026, E-mail : kskim@mm.ewha.ac.kr

다. 성장한 암컷 3 마리와 수컷 1 마리를 실험에 이용하였다.

딜티아제서방정의 제조

딜티아제서방정은 아래와 같이 제조하였다. 100 mesh 체를 통과시킨 딜티아제, 히드록시프로필셀룰로오스, 유당의 무게를 달아 섞고 스테아린산마그네슘을 첨가하여 잘 혼합하였다. 그 분말 혼합물을 지름 10 mm의 punch의 단발 타정기를 이용하여 타정하였다. 딜티아제은 정당 100 mg으로 하고 용출을 조절하기 위하여 히드록시프로필셀룰로오스를 30, 50 및 70%로 변화시키고 각각 Tab F, Tab M 및 Tab S로 하였다.

In vitro 용출시험

소화관 내의 생리학적 특성, 즉 pH 변동과 운동성을 고려하여 딜티아제서방정의 용출에 대한 교반속도, 용출시험장치, 용출액의 영향을 평가하였다.⁵⁾ 용출시험은 대한약전 7개정에 따라 실시하였고, 용출시험장치는 용출시험법 1법(Basket 법)과 2법(Paddle 법)을, 용매는 simulated gastric fluid TS(without pepsin), simulated intestinal fluid TS (without pancreatin) 및 water를 사용하였고 용출액은 흡광도측정법에 따라 UV 236 nm에서 딜티아제의 농도를 분석하였다.

In vivo 흡수 실험

경구 투여 전 18시간 전부터 투여 후 6시간이 지날 때까지 비글견을 금식시키고 물은 자유롭게 섭취하도록 하고 딜티아제서방정 1정을 물 20 ml와 같이 경구투여하였다. 혈액 채취는 비글견을 고정대에 고정시키고 좌측 대퇴부 동맥에 heparinized saline(3 IU/ml)을 채운 캐뉼라를 삽입하여 혈액을 채취한 후 다시 헤파린을 삽입하여 넣어 주었다. 채취한 혈액은 EDTA 튜브에 즉시 넣고 12000 rpm에서 10분간 원심분리하고 분리된 혈장을 분석시까지 -20°C에서 보관하였다. 혈장중 딜티아제의 정량은 Robert E 등⁶⁾의 전처리방법을 준용하였다.

HPLC 분석조건으로는 칼럼은 Capcellpak C₁₈(Shiseido, Japan)을 사용하였으며 이동상은 0.1 mol/L 인산암모늄액·아세토니트릴혼합액(59:41)(with 0.06% triethylamine)을 사용하였고 유속 1.0 ml/min로 UV 검출기(측정파장: 240 nm)를 사용하여 정량하였다. 이와 같은 조건으로 분석하였을 때 혈장중의 딜티아제 농도에 대한 피크면적비율은 100 ng/ml과 1000 ng/ml의 사이의 농도에서 직선성이 성립하였고 그 검량선은 Y=0.0017x-0.0548(r²=0.9958, X: 딜티아제 농도(ng/ml), Y: 내부표준물질(0.1 mol/L 인산염 원층액 (pH 7.4)

에 녹인 염산베라파밀 용액 (10 µg/mL))에 대한 딜티아제 피크 면적비)이었다. 딜티아제을 경구투여하고 얻은 딜티아제의 혈중농도-시간 곡선으로부터 WinNolin을 사용하여 모델비의존적방법으로 AUCinf, Cmax 및 Tmax를 구하였다.

In vivo/In vitro correlation

In vitro 용출시험에서 얻은 파라미터(MDT, d)와 *in vivo* 흡수 실험에서 얻은 파라미터(AUCinf, Cmax 및 Tmax)와의 상관성을 선형회귀분석법을 이용하여 구하고 IVIVC를 평가하였다.

결과 및 고찰

In vitro 용출시험 및 *in vivo* 흡수 실험

용출양상의 변화를 구분해 낼 수 있고 *in vivo* 양상을 예측가능한 용출조건을 확립하면 용출상태를 관찰함으로써 유효성분의 생체이용률에 영향을 주는 처방 및 제조공정의 여러가지 변동성을 관리할 수 있다.⁷⁻⁹⁾

IVIVC에서 *in vitro* 용출 특성을 나타내는 것은 용출율과 용출양으로¹⁰⁻¹⁴⁾ MDT와 d 등이 사용되고 있고,¹⁵⁾ *in vivo* 파라미터는 AUCinf, Cmax 및 Tmax 등이 사용되고 있다.

MDT(mean dissolution time)는 용출시험시 시간별 용출면적의 합을 초기 투여량으로 나눈 값을 말하는 것으로 아래와 같이 구한다.

$$MDT = \sum_{i=1}^n \frac{\Lambda}{t_i} \frac{M_i}{M_\infty}$$

M_i=각 시간에서 용출된 %

M_∞=총 용출률(100 %)

$$\Lambda = \frac{(t_i + t_{i-1})}{2}$$

d 값은 d_{50%}, d_{70%} 등을 많이 사용하는데 각 용출곡선에서 각 목적 약물이 각각 50%와 70% 용출될 때까지의 시간을 그래프에서 직접 구하였다. 용출양상의 유사도는 USP에서 권고하는 similarity factor (f₂)를 사용하였는데 f₂가 50~100이면 두 용출양상은 차이가 없다고 말할 수 있다.¹⁶⁾

In vitro 시험에서 IVIVC에 적합한 용출시험조건 및 파라미터를 찾고자 교반속도에 따른 효과, 용출기구에 따른 효과 및 용출액에 대한 효과를 실험하고 그 결과를 Table I~IV로 나타내었다. Tab F, Tab M 및 Tab S로 갈수록 용출이 느려졌다.

교반속도 및 용출기구에 따른 영향은 각각의 정제에서 f₂

Table I—Comparison of dissolution parameters as a function of stirring rates

	Tab F		Tab M		Tab S	
	50 rpm	100 rpm	50 rpm	100 rpm	50 rpm	100 rpm
MDT _{50%}	2.0 ± 0.0	1.7 ± 0.6	3.5 ± 0.0	2.0 ± 0.2	5.5 ± 0.1	4.6 ± 1.4
d _{50%}	2.3 ± 0.1	2.0 ± 0.1	3.3 ± 0.2	3.0 ± 0.2	4.4 ± 0.3	4.0 ± 0.4
MDT _{70%}	5.9 ± 0.1	5.5 ± 0.5	10.9 ± 0.0	10.0 ± 1.1	21.4 ± 2.7	16.2 ± 1.9
d _{70%}	3.6 ± 0.1	3.2 ± 0.2	5.6 ± 0.2	5.1 ± 0.3	8.1 ± 0.6	7.1 ± 0.2
f ₂		66.6		73.9		72.7

Mean ± S.D.(n=6)

Table II—Comparison of dissolution parameters as a function of apparatus

	Tab F		Tab M		Tab S	
	App. I ^a	App. II ^b	App. I	App. II	App. I	App. II
MDT _{50%}	2.0 ± 0.0	2.3 ± 0.5	3.5 ± 0.0	4.1 ± 0.8	5.5 ± 0.1	6.6 ± 1.3
d _{50%}	2.3 ± 0.1	3.1 ± 0.4	3.3 ± 0.2	4.0 ± 0.6	4.4 ± 0.3	5.3 ± 0.3
MDT _{70%}	5.9 ± 0.1	8.7 ± 1.6	10.9 ± 0.0	16.5 ± 2.0	21.4 ± 2.7	24.0 ± 2.3
d _{70%}	3.6 ± 0.1	4.7 ± 0.7	5.6 ± 0.2	7.1 ± 0.9	8.1 ± 0.6	8.8 ± 0.5
f ₂		52.5		56.9		69.1

Mean ± S.D.(n=6), ^aBasket method, ^bPaddle method**Table III**—Comparison of dissolution parameters as a function of dissolution mediums

	Tab F			Tab M			Tab S		
	I ^a	II ^b	III ^c	I	II	III	I	II	III
MDT _{50%}	3.1 ± 0.3	3.1 ± 0.3	2.0 ± 0.0	6.8 ± 0.8	4.7 ± 0.7	3.5 ± 0.0	17.0 ± 0.9	13.0 ± 1.9	5.5 ± 0.1
d _{50%}	3.6 ± 0.1	3.2 ± 0.1	2.3 ± 0.1	5.8 ± 0.3	4.8 ± 0.1	3.3 ± 0.2	22.7 ± 0.2	8.0 ± 0.8	4.4 ± 0.3
MDT _{70%}	13.8 ± 3.0	10.4 ± 1.8	5.9 ± 0.1	31.6 ± 11.2	22.8 ± 2.8	10.9 ± 0.0	46.3 ± 2.6	23.4 ± 2.1	21.4 ± 2.7
d _{70%}	6.3 ± 0.3	5.1 ± 0.2	3.6 ± 0.1	20.0 ± 9.7	9.2 ± 0.3	5.6 ± 0.2	26.9 ± 0.3	14.1 ± 6.2	8.1 ± 0.6

Mean ± S.D.(n=6), ^aSimulated gastric fluid TS, ^bSimulated intestinal fluid TS, ^cWater**Table IV**—Similarity factor(f₂) evaluated by dissolution medium

	Tab F	Tab M	Tab S
I ^a / II ^b	51.4	54.7	46.1
II / III ^c	46.5	44.7	45.8
I / III	35.6	36.5	31.9

^aSimulated gastric fluid TS, ^bSimulated intestinal fluid TS, ^cWater

가 50 이상으로 교반속도 및 용출기구에 따른 차이는 없음을 알 수 있었다. 용출액에 대한 영향은 simulated gastric fluid TS와 simulated intestinal fluid TS에서 Tab F와 Tab M에서의 용출양상을 구분할 수 없었으므로 세 종류의 정제에서 모두 차이를 구분할 수 있는 물이 적당하다고 생각되었다.

딜티아제제방정을 비글견에 경구투여 한 후 혈중농도-시간 곡선으로부터 AUCinf, Cmax 및 Tmax를 구한 결과를 Table V에 나타내었다.

Table V—The pharmacokinetic parameters of diltiazem following oral administration(100 mg) of sustained release tablets in dogs

	Tab F	Tab M	Tab S
C _{max} (ng/mL)	718.7 ± 225.6	383.4 ± 138.2*	371.7 ± 159.9
T _{max} (hr)	4 ± 1	4 ± 3	3.13 ± 1.75
AUC _{inf} (ng · hr/mL)	7591.6 ± 924.7	5668.5 ± 518.4**	4916.9 ± 1256.4

Mean ± S.E.(n=4)

*p < 0.05 between Tab F and Tab M

**p < 0.01 between Tab F and Tab M

용출 양상이 점점 느려지는 Tab F, Tab M 및 Tab S를 경구투여시 AUC_{inf}는 각각 7591, 5668 및 4916 ng · hr/mL 으로 유의적으로 줄어들었고, C_{max}도 718, 383 및 371 ng/mL로 유의적으로 줄어들었다. 딜티아제를 정맥주사로 투여하고 정맥주사에 대한 각 정제의 상대생체이용율을 구했을 시 19.2, 13.3 및 11.6으로 마찬가지로 줄어드는 것을

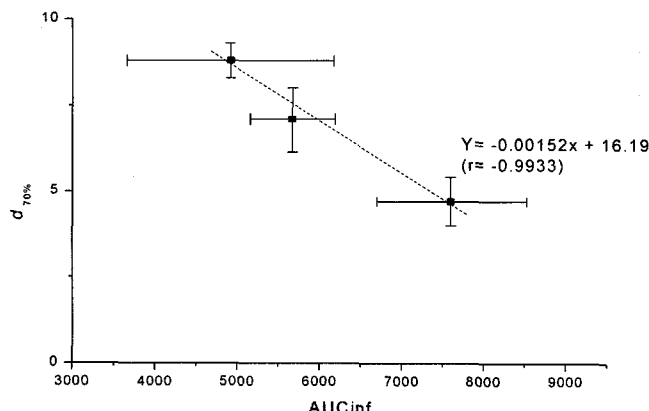


Figure 1-The correlation between *in vitro* parameter and *in vivo* parameters. $d_{70\%}$ was obtained under the dissolution condition, water as medium, 50 rpm as stirring rate and apparatus II method.

알 수 있었다. 위의 결과로 용출을 변화시킨 제제에 있어 용출이 느려짐에 따라 *in vivo* 파라미터인 AUC_{inf}, C_{max}가 유의성 있게 줄어드는 것을 알 수 있었고 그 편차는 커다. G. Bianchetti¹⁷⁾의 보고에 따르면 20명에게 딜티아제姆 동일 용량을 투여하였을 때 혈중농도에 있어서는 10~15배의 차이를 보였다고 보고하였다. 이는 딜티아제姆은 위장관으로부터 완전히 흡수되지만 개인간 간대사효소능의 차이가 커 결과적으로 초회통과 효과에 차이가 나타났기 때문이다.¹⁸⁻¹⁹⁾

용출이 느려졌을 때 AUC_{inf}가 유의성 있게 줄어드는 것은 용출되어지는 약물의 양과 속도에 있어 차이가 있기 때문에 결과적으로 흡수되어진 약물의 양에 있어서 차이가 있을 수 있다고 생각된다. 빠르게 방출되는 제제의 경우는 초회통과의 포화로 인하여 약물의 제거가 적은 반면 느리게 방출되는 제제는 초회통과 효과가 커져 약물의 제거가 많아져서 AUC_{inf}가 줄어들게 된다.

In vivo/in vitro correlation

In vitro 용출시험에서 얻은 파라미터인 MDT와 d 및 *in vivo* 흡수 실험에서 얻은 파라미터 중 유의성 있는 파라미터인 AUC_{inf}와 C_{max}를 가지고 상관성을 구하였을 때 용출액으로는 물, 용출시험기구로는 II법, 교반속도는 50 rpm 일 때 $d_{70\%}$ 과 AUC_{inf}에서 상관관계를 보임을 알 수 있었다 ($r=-0.9933$). 위의 결과를 통하여 이 조건하에서 딜티아제姆서방정은 용출시험을 통하여 생체내 동태를 예측하는 것이 가능함을 알 수 있었다.

결 론

3가지의 용출양상이 다른 딜티아제姆서방정을 가지고 *in*

vitro 용출시험과 *in vivo* 흡수시험을 실시하고 *in vitro* 실험에서 얻을 수 있는 인자와 *in vivo* 실험에서 얻을 수 있는 인자연구를 통하여 IVIVC를 시도하고자 하였다. *in vitro* 용출시험을 통하여 MDT와 d 를 구하고 교반속도, 용출시험기구, 용출액에 따른 효과를 구하였을 때 교반속도 및 용출시험기구에 따른 효과는 볼 수 있었고 용출액은 물이 타당함을 알 수 있었다. 비글견을 대상으로 한 *in vivo* 흡수시험을 통하여 AUC_{inf} 및 C_{max}가 유의성 있게 달라짐을 알 수 있었다. *in vitro* 용출시험에서 얻은 파라미터인 MDT와 d 및 *in vivo* 실험에서 얻은 파라미터 AUC_{inf}와 C_{max}를 가지고 상관관계를 구하였을 때 용출조건으로는 물을 사용하고, 용출시험기구로는 II법, 교반속도가 50 rpm일 때 $d_{70\%}$ 과 AUC_{inf} 사이에서 상관관계가 있음을 알 수 있었다 ($r=-0.9933$). 위의 결과를 통하여 딜티아제姆서방정은 위 조건하에서 용출시험을 통하여 생체이용률을 나타내는 AUC_{inf}를 예측가능함을 알 수 있었다. 이러한 IVIVC 연구를 통하여 허가과정 뿐만 아니라 scale-up과 허가 후 변화에 요구되고 있는 생물학적동등성 시험을 대체가능한 수단으로 이용될 수 있을 것이라고 사료되었다.

문 현

- 1) M. Zahirul I. Khan, Dissolution testing for sustained or controlled release oral dosage forms and correlation with *in vivo* data : challenges and opportunities, *Int. J. Pharm.*, **140**, 131-143 (1996).
- 2) Venkata ramana S. Uppoor M. Pharm., Ph. D., R. Ph., Regularoty perspectives on *in vitro* (dissolution)/*in vivo* (bioavailability) correlations, *J. Controlled release*, **72**, 127-132 (2001).
- 3) B. Sreenivasa Rao, A. seshasayana, S. V. Pardha saradhi, N. Ravi Kumar, Cheruvu P. S. narayan, K. V. Ramana Murthy, Correlation of *in vitro* release and *in vivo* absorption characteristics of rifampicin from ethylcellulose coated nonpareil beads, *Int. J. Pharma.*, **230**, 1-9 (2001).
- 4) Skelley, J. P., Amidon, G. L., Barr, W. J., Benet, L. Z., Carter, J. E., Robinson, J. R., Shah, V. P., Yacobi, A., Report of the workshop on *in-vitro in-vivo* testing and correlation for oral controlled modified-release dosage forms. *J. Pharm. Sci.*, **79**, 849-854 (1990).
- 5) Aristides Dokoumetzidis and Panos Macheras, A population growth models of dissolution, *Pharm. Res.*, **14**(9), 1122-1126 (1997).
- 6) Robert E. Wiens, Dennis J. Runser, Joseph P. Lacz, and Dan C. Dimmitt, Quantitation of diltiazem and desacetyldiltiazem in dog plasma by high-performance liquid chromatography, *J. Pharm. Sci.*, **73**(5), 688-689 (1984).
- 7) Nattee Sirisuth and Natalie D. Eddington, *In-vitro-in vivo*

- correlation definitions and regulatory guidance, *Int. J. Generic drugs*, ISSN 0793 758X US/canada
- 8) Nattee sirisuth and Natalie D. Eddington, *Vitro-in vivo* correlations, *Int. J. Generic drugs*, 250-258, ISSN 0793 694X-US/Canada
- 9) Gordon L. Amidon, Hans Lennernas, Vinod P. Shah, and John R. Crison, A theoretical basis for a biopharmaceutic drug classification: The correlation of *in vitro* drug product dissolution and *in vivo* bioavailability, *Pharm. Res.*, **12**(3), 413-420 (1995).
- 10) FDA Guidance for industry: Immediate release solid dosage forms; scale-up and post approval changes (SUPAC-IR); chemistry, manufacturing and controls, *in vitro* dissolution testing and *in vivo* bioequivalence documentation, November, 1995.
- 11) FDA Guidance for industry: modified release solid oral dosage forms; scale-up and post approval changes (SUPAC-MR); chemistry, manufacturing and controls; *in vitro* dissolution testing and *in vivo* bioequivalence documentation, september, 1997a.
- 12) FDA Guidance for industry: Extended release oral dosage forms; development, evaluation and application of *in vitro/in vivo* correlation, september, 1997b.
- 13) FDA Guidance for industry: Dissolution testing of immediate release solid oral dosage forms, August, 1997c.
- 14) Vinod P. Shah, Yi Tsong, Pradeep Sathe, and Jea-Pei Liu, *in vitro* dissolution profile comparison-statistics and analysis of the similarity factor, f_2 , *Pharm. Res.*, **15**(6), 1998.
- 15) Bee-Hwan Chung and Chang-Koo Shim, Dissolution of theophylline from sustained-release dosage forms and correlation with saliva bioavailability parameters, *J. Pharm. Sci.*, **76**(10), 784-787 (1987).
- 16) P. Costa, An alternative method to the evaluation of similarity factor in dissolution testing, *Int. J. Pharm.*, **220**, 77-83 (2001).
- 17) G. Bianchetti, M. Regazzi, M. Rondanelli, V. Ascalone, M. Morselli, Bioavailability of diltiazem as a function of the administered dose., *Biopharm. Drug Disp.*, **12**, 391-401 (1991).
- 18) E. U. Kolle, H. R. Ochs, K. O. Vollmer, Pharmacokinetic model of diltiazem. *Arzneim. Forsch./Drug Res.*, **33**, 972-977 (1983).
- 19) Ph. Herman, S. D. Rodger, G. Remones, J. P. Thenot, D. R. London, P. L. Morselli, Pharmacokinetics of diltiazem after intravenous and oral administration. *Eur. J. Clin. Pharmacol.*, **24**, 349-352 (1983).